

Figure 1. La Camargue

Extrait de Carte pédologique de France au 1/100 000, 1994, Arles, Bouteyre G., Duclos G. (p. 2 de la notice explicative), © Inra.

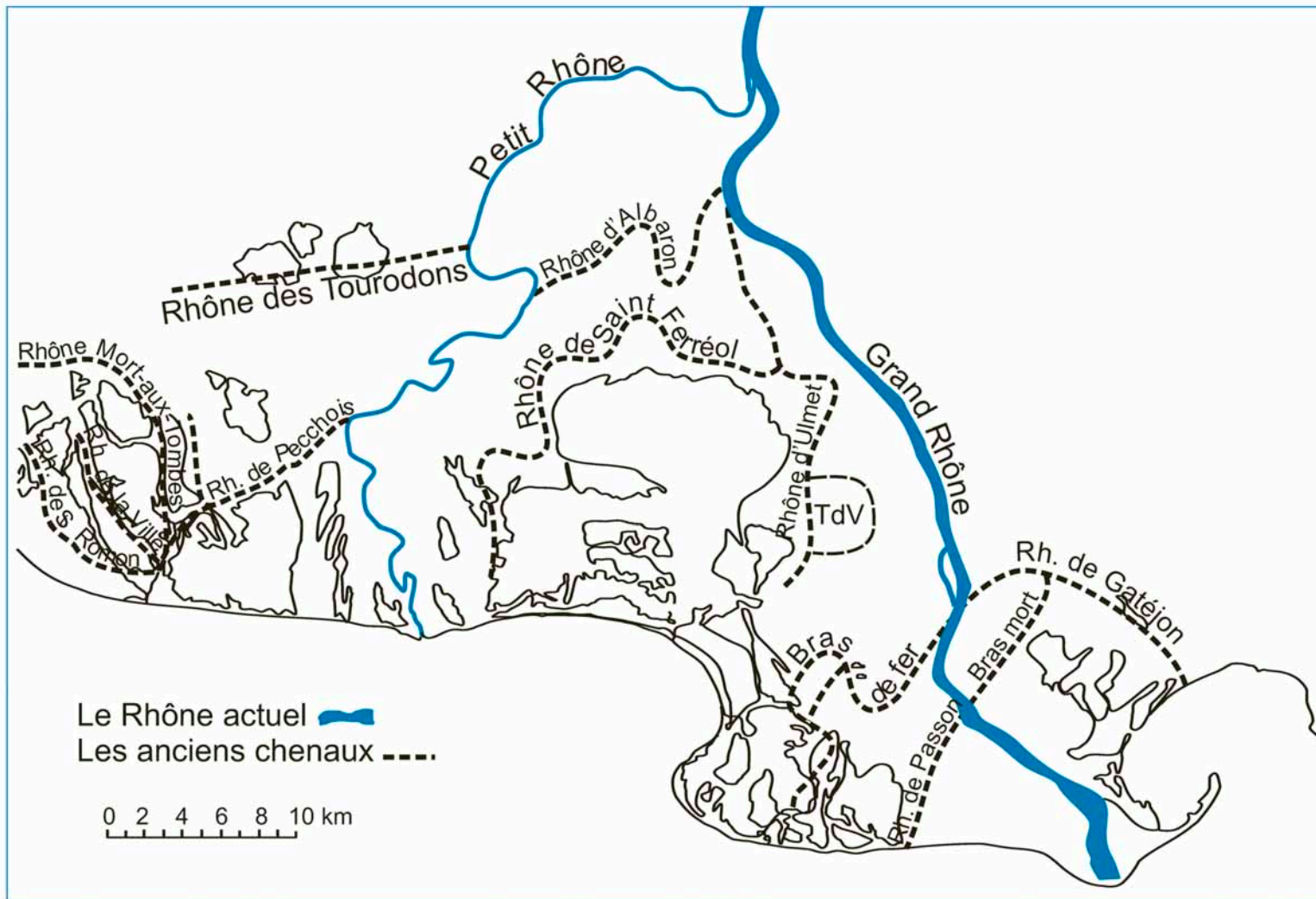


Figure 2. Les divagations du Rhône

Extrait de PNRC (1993)

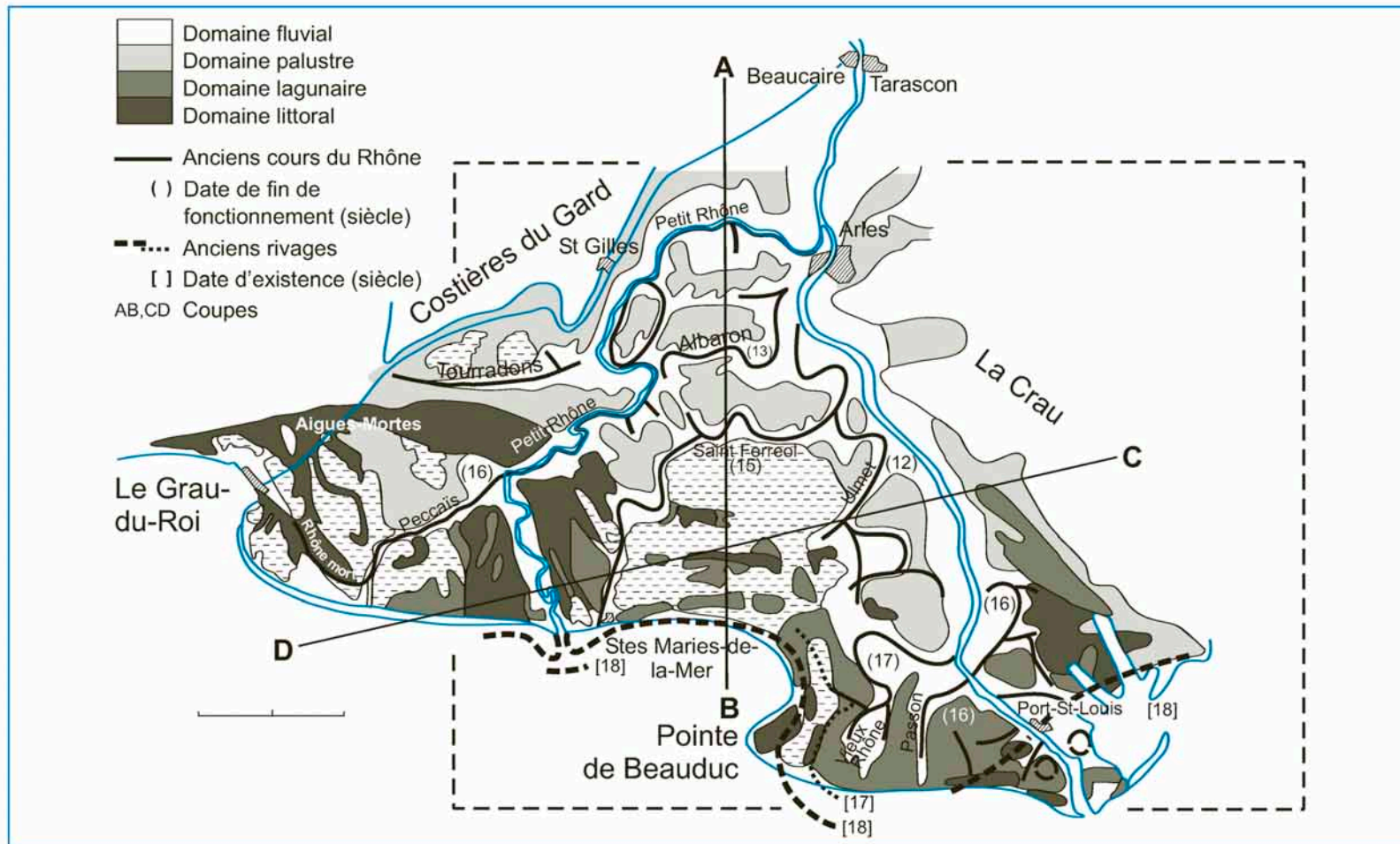


Figure 3. Carte géomorphologique simplifiée

Extrait de Carte pédologique de France au 1/100 000, 1994, Arles, Bouteyre G., Duclos G. (p. 23 de la notice explicative), © Inra.

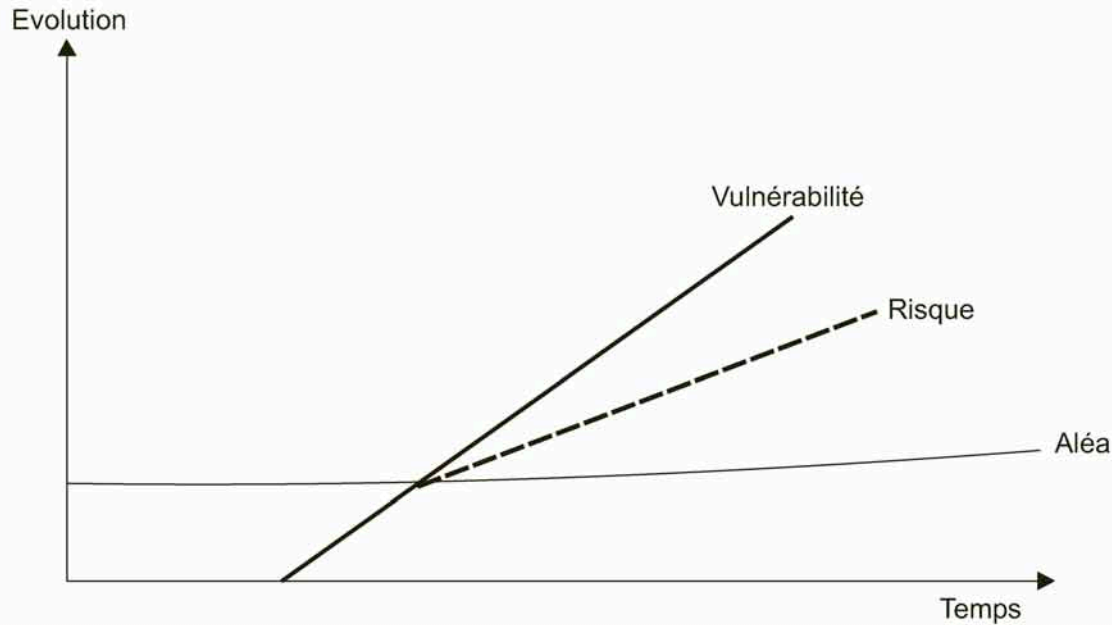


Figure 4.

Réf. MANCHE Yves, (1997), "Vers une cartographie spatio-temporelle et multi-échelle des risques naturels en Montagne", in *Les temps de l'environnement*, Publication de l'université de Toulouse Le Mirail, CNRS, p.305-310, tome 2.

Leone F., (1996), "Concept de vulnérabilité appliqué à l'évaluation des risques générés par les phénomènes de mouvement de terrain.", thèse de doctorat, Institut de Géographie Alpine, université Joseph Fourier et Bureau de recherches géologiques et minières, 274 p.

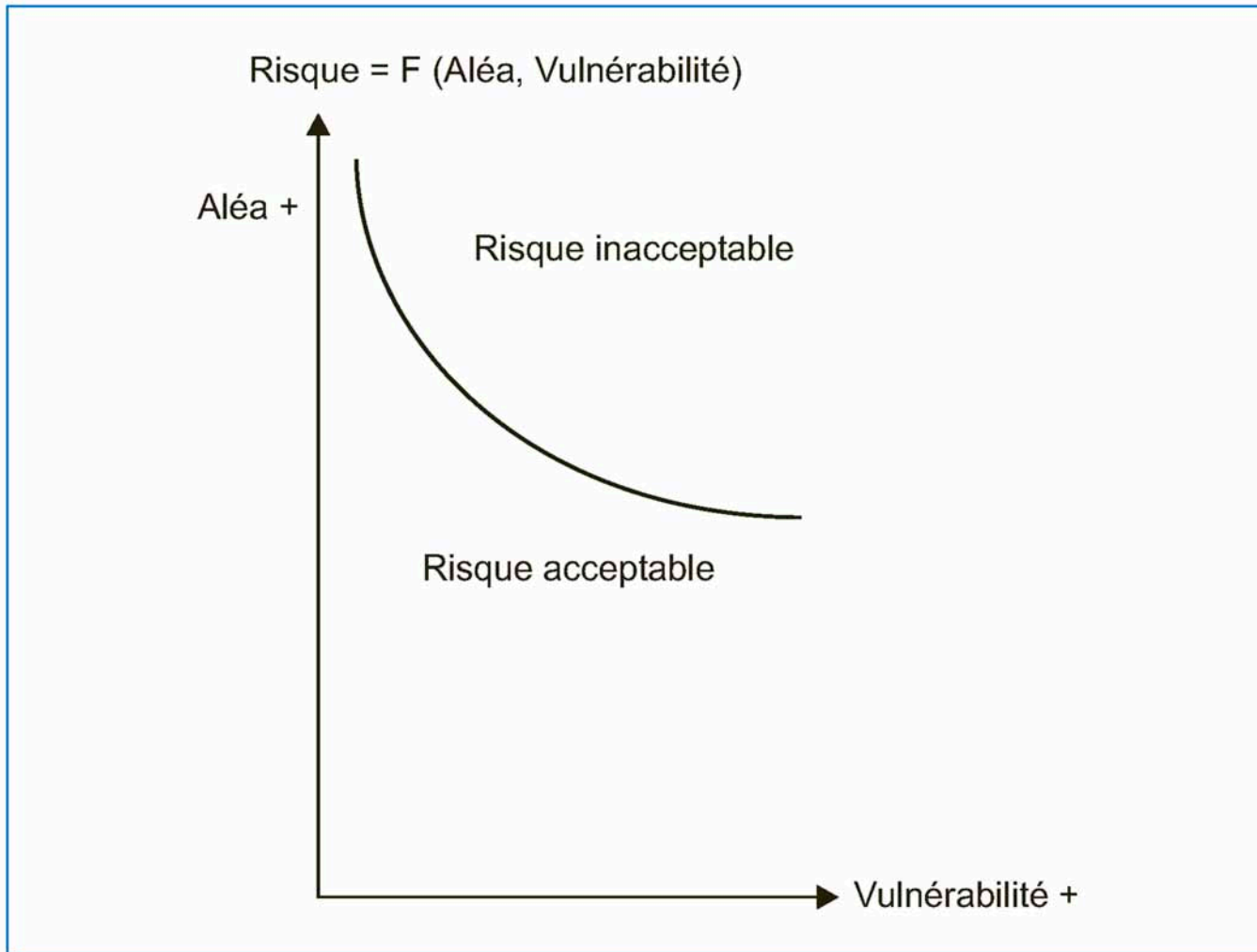


Figure 4 bis. Le risque

Extrait de. A Dauphiné (2001)

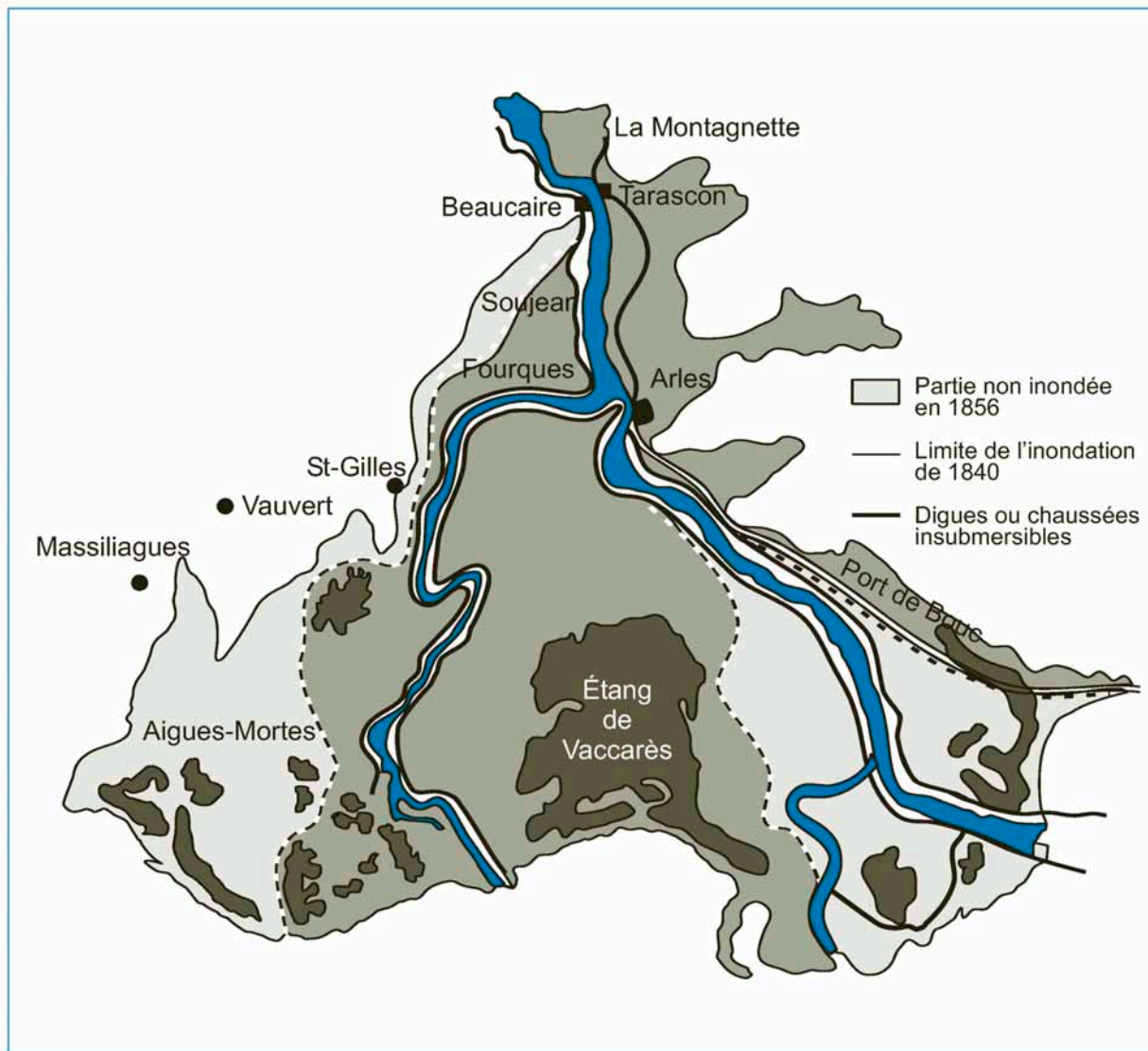


Figure 5. Champ d'inondation du Rhône de Tarascon-Beaucaire à la mer.

Réf. : PARDE, 1925

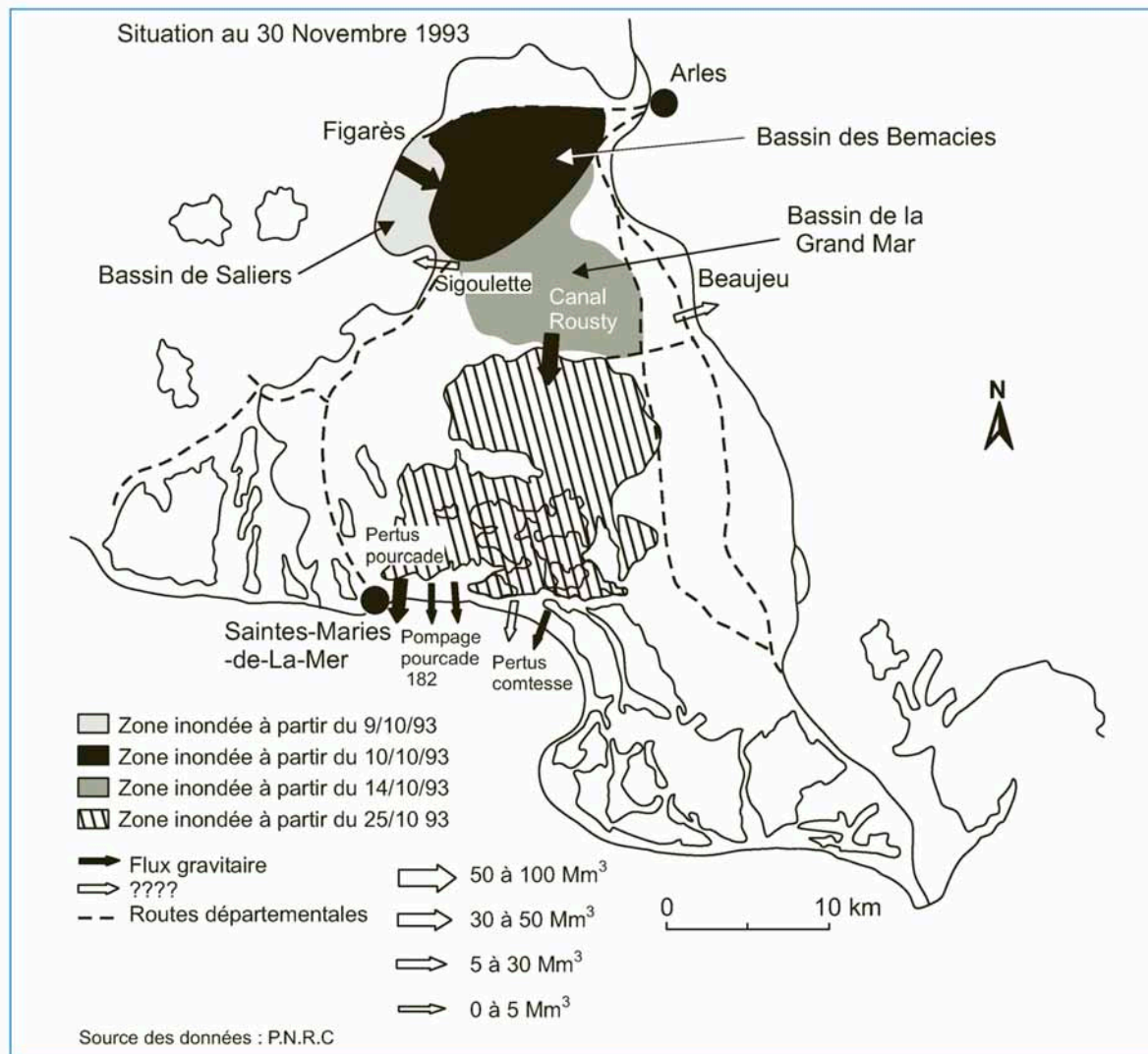


Figure 6. Flux et zones inondées. Octobre 1993

Source, d'après PNRC, 1993

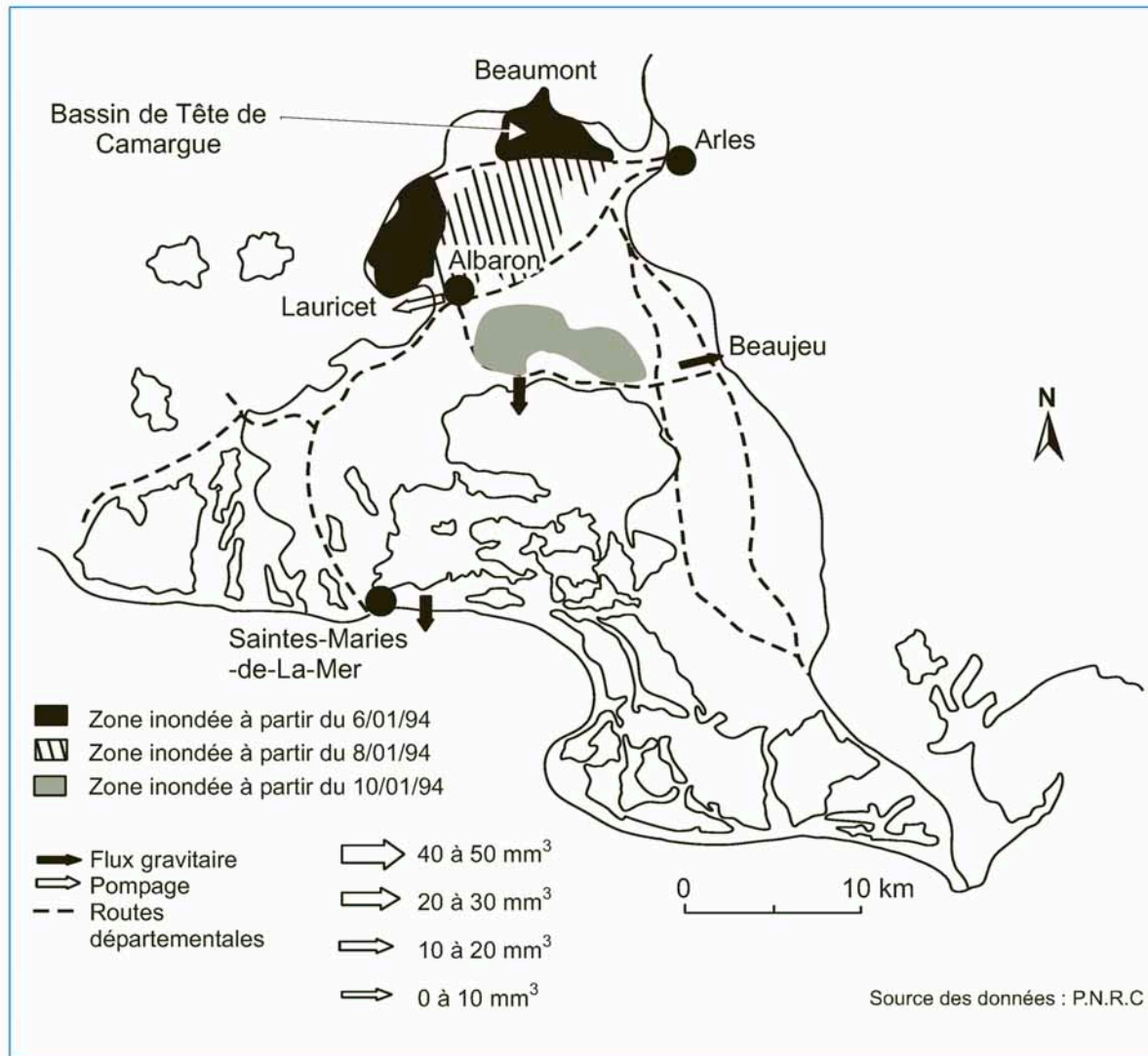


Figure 7. Flux et zones inondées en janvier 94

Source, d'après PNRC, 1994

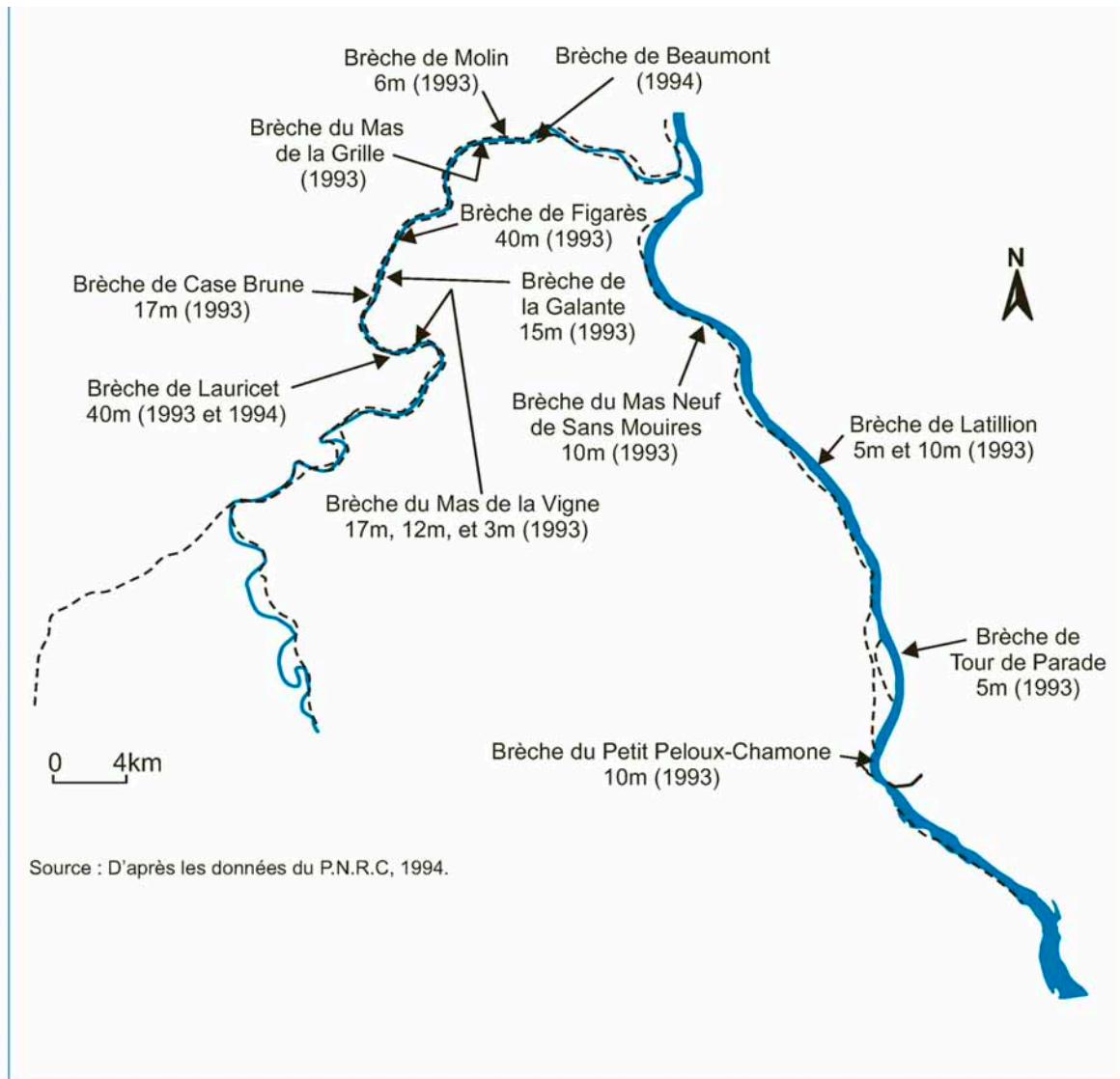


Figure 8. Brèches survenues en 1993 et 1994.

Source, données du PNRC, 1994